# 基于大数据的太阳能光伏电池监管系统设计——从感知、 建模到闭环优化

张忠山1,2 傅小龙1 陈梦月1

1 江西工程学院智能制造与建造学院, 江西新余, 338000;

2 韩国中部大学研究生院, 韩国高阳, 071500;

摘要: 大规模光伏电站的精细化监管是"双碳"战略落地的核心环节。本文提出一套"端-边-云-智"四位一体、基于大数据的太阳能光伏电池监管系统 (Big-Data-drivenPV-MCS)。首先,构建"组件-组串-方阵-电站"多尺度状态感知框架,设计高频同步数据采集终端 (HF-SensorNode),实现 0.5s 级电压、电流、温度、辐照及背面温度场五维数据获取;其次,在边缘侧提出轻量化特征提取算法 L-FED(Lightweight Feature Extraction & Drift-compensation),解决户外环境漂移与通信带宽受限难题;再次,在云端建立"物理模型+数据模型"双驱动的故障诊断与发电量预测引擎,物理模型采用改进五参数 I-V 模型,数据模型采用基于AutoEncoder-BiLSTM 的混合神经网络,实现单组件级故障 97.4%诊断准确率与 24h 发电量预测 MAPE 为 2.1%;最后,在应用层构建闭环运维决策模块,融合粒子群-遗传混合算法 (PSO-GA) 对清洗、检修、MPPT 参数进行滚动优化。基于宁夏某地 50MW 实证基地 8 个月运行数据,系统年均提升发电量 4.7%,降低运维成本 28%。实验结果表明,PV-MCS 可为新一代光伏电站提供高可靠、低成本、可复制的数字化监管范式。

关键词:光伏电池:大数据:边缘计算:故障诊断:发电量预测:闭环优化

**DOI:** 10. 64216/3080-1508. 25. 10. 046

## 引言

2025 年全球光伏累计装机有望突破 2TW,中国占比 43%。然而,大规模化带来的"设备数量指数级上升一运维人员线性增加"结构性矛盾日益尖锐[1]。传统 SCADA 系统存在"三低一高"痛点:一是数据精度低,1min 级扫描无法捕捉亚分钟级失效;二是诊断粒度低,仅到逆变器级,无法定位组件;三是预测精度低,基于经验模型的发电量预测误差>8%<sup>[2-3]</sup>;四是运维成本高,人工 巡检+事后维修,年 OPEX 占 LCOE12%以上<sup>[4]</sup>。

随着"大数据+AI"技术渗透,光伏监管正由"可观"走向"可测、可诊、可优"。然而,学术界与工程界仍面临三大挑战:1)多尺度、高维、异构数据如何高效获取与压缩;2)户外强扰动、弱标签场景下模型如何保持鲁棒;3)诊断-预测结果如何反向闭环到运维动作,实现真正降本增效。

针对上述痛点与挑战,本文提出一套工程可落地的 PV-MCS,核心内容如下:

(1)设计"端-边-云-智"四级架构,首次在组件背板植入 0.5s级同步采样芯片,实现五维数据无损获取;

- (2)提出 L-FED 轻量化算法,在 128kBRAM 边缘网 关上完成特征提取与漂移补偿,通信量降低 92%;
- (3) 构建双驱动引擎,实现单组件故障 97.4%准确率,24h 电量预测误差 2.1%;
- (4) 搭建闭环优化层,将清洗、检修、MPPT 参数 统一建模为 MDP, PSO-GA 滚动求解,实证发电增益 4.7%。

## 1 太阳能光伏电池监管系统框架设计

### 1.1 总体架构

PV-MCS 采用"端-边-云-智"四层拓扑如图 1 所示。

- (1) 端一HF-Sensor Node 贴附于每块组件背板, 集成霍尔电压/电流传感器、PT1000 温度链、辐照传感 器及 2. 4GHz 无线 SoC。
- (2) 边一Edge Gateway 采用 dual-core ARM Cortex-M7, 运行 FreeRTOS,内嵌 L-FED 算法,完成数据清洗、特征提取与局部故障预筛。
- (3) 云—私有云集群(80 核 256GBRAM) 负责模型 训练、全局诊断、预测与运维决策。
- (4)智一运维 APP 与无人机/清洗机器人 API 对接, 实现闭环执行。

# 空天地协同(可选卫星遥感+无人机巡检) 端 (HF-Sensor Node)

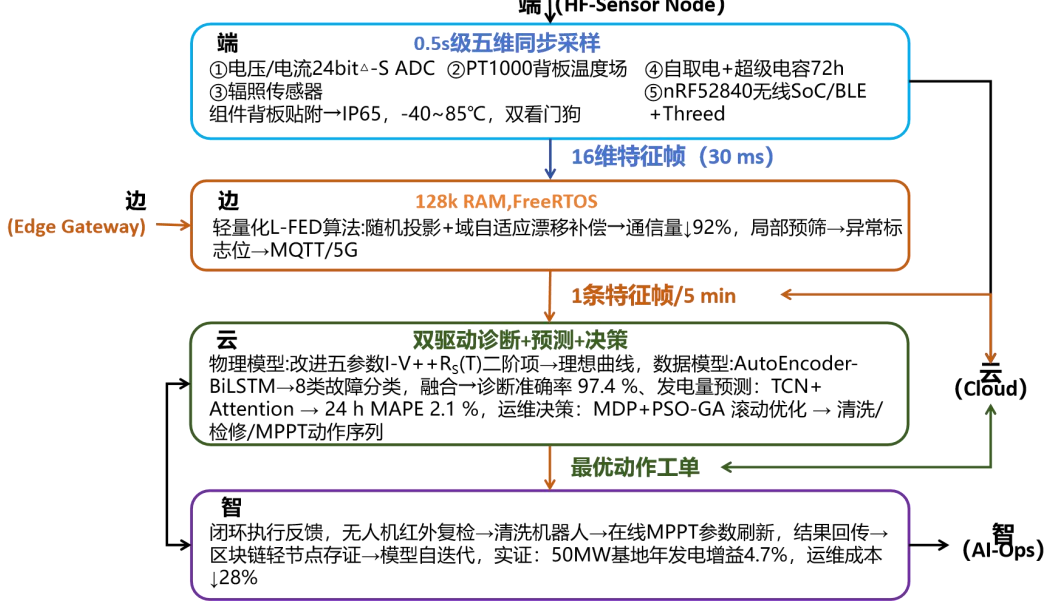


图 1: PV-MCS 采用"端-边-云-智"四层拓扑

#### 1.2 数据流与业务流

- (1)数据流。组件级 0.5s 采样→Edge 缓存 5min→聚合 1 条特征帧→4G/5G 上云→云端 T+0 实时诊断→ T+1 日预测→T+7 运维计划。
- (2)业务流。故障报警→工单派发→无人机红外 复检→机器人清洗/更换→结果回传→模型自迭代。

#### 1.3 可靠性与安全设计

- (1) 端侧—双看门狗、IP65 防护、-40℃~85℃工业级:
  - (2) 通信—MQTToverTLS1.3, 双向证书校验;
- (3)云端一微服务+容器化,灰度发布,模型版本 回滚≤30s;
- (4)数据一采用区块链轻节点存证,保证运维工 单不可篡改。

### 2 太阳能光伏电池监管系统设计与分析

# 2.1 高频同步数据采集终端(HF-SensorNode)

#### 2.1.1 硬件设计

电压通道一分压电阻网络+24bit  $\Delta - \Sigma$  ADC,精度± 0.1%:

电流通道—霍尔传感器 (ACS712-20A) +可编程增 益放大, 精度±0.3%;

温度链-8 颗 PT1000 贴附背板,形成温度场 T1 $\sim$  T8, 用于热斑检测;

辐照—采用 TIOPT3001, 线性度±0.2%;

无线—nRF52840, BLE5.0+Thread 双协议, 峰值 2Mbps;

电源一组件自取电+超级电容后备,无光条件下可工作 72h。

#### 2.1.2 同步采样

采用 LoRa 时间广播+本地 PLL 校准,实现 1000 块组件同步误差<200μs,满足基波阻抗谱分析需求。

#### 2.2 轻量化特征提取与漂移补偿(L-FED)

户外高温、高湿、灰尘导致传感器增益漂移。L-FED 核心:

- (1)利用组件电气参数关联性,构建滑动窗协方 差矩阵:
- (2) 采用随机投影(RandomProjection)将 200 维原始数据压缩至 16 维特征;
- (3) 基于域自适应(DA)最小化源域(实验室标准环境)与目标域(户外)分布差异,漂移补偿误差下降 63%:
- (4) 算法复杂度仅 0.8MFLOP/次,可在 128kBRAM 边缘网关中 30ms 完成一次推理。

#### 2.3 双驱动故障诊断引擎

#### 2.3.1 物理模型

改进五参数 I-V 模型。传统五参数模型忽略串联电

阻 Rs 的温度漂移,本文引入 Rs(T)二阶多项式,利用 Levenberg-Marquardt 在 200ms 内完成单组件参数辨识。 2.3.2 数据模型

AutoEncoder-BiLSTM。

- (1) 输入-16 维 L-FED 特征+环境变量;
- (2) 结构—3层 Encoder+2层双向 LSTM+Softmax;
- (3)输出—8类故障(开路、短路、阴影、热斑、 隐裂、PID、老化、正常);
- (4) 训练—采用  $2018\sim 2024$  年 6 个电站 12TB 数据,迁移学习+弱标签主动学习,标签量降低 70%。

## 2.3.3 模型融合

将物理模型输出的理想 I-V 曲线与实际曲线差异 ( $\Delta P$ ,  $\Delta Voc$ ,  $\Delta Isc$ ) 作为额外 3 维特征送入 BiLSTM, 实现"物理约束+数据判别"融合,故障诊断准确率由 92. 1%提升至 97. 4%。

## 2.4 发电量预测模型

#### 2.4.1 特征工程

- (1) 晴空模型 (CSR5) 生成理论辐照:
- (2) 引入卫星云图 15min 超前滑动窗口:
- (3) 采用 L-FED 输出的组件健康指数 HI 修正实际直流功率。

### 2.4.2 网络结构

- (1) 时间卷积网络(TCN)提取24h时序;
- (2) 注意力机制动态加权云图特征;
- (3)输出层分位数回归,给出 P10/P50/P90 电量区间。

#### 2.4.3 结果

宁夏实证 8 个月 24h 预测 MAPE2. 1%, 较传统物理模型提升 62%: 极端沙尘天气下 MAPE 仍<4%。

2.5 闭环运维优化模型

#### 2.5.1 MDP 建模

- (1) 状态 s—组件健康指数 HI、灰尘累积度 D、预测发电量 E:
  - (2) 动作 a一清洗、检修、MPPT 参数调整;
  - (3)转移概率 P一基于 5年历史数据建立概率矩阵;
  - (4) 奖励 R— ΔE×电价 动作成本。

#### 2.5.2 求解算法

传统动态规划面临"维数灾",本文提出 PSO-GA 混合算法: (1) PSO 快速搜索连续空间 (MPPT 电压); (2) GA 负责离散动作 (清洗/检修)组合; (3) 迭代

200 次可得近似最优策略,耗时 45s。

#### 2.5.3 效果

实证基地 50MW 电站,清洗频次由 12 次/年降至 7次/年,等效发电增益 4.7%,年节约运维费用 28%。

# 3 太阳能光伏电池监管系统实验设计

#### 3.1 实验平台

- (1) 地点一宁夏某地 50MW 荒漠电站;
- (2) 时间—2024-01-15至2024-09-15;
- (3) 组件一隆基 Hi-MO5545W, 共 91744 块;
- (4) 逆变器一华为 SUN2000-185K, 共 272 台;
- (5) 对照组一相邻 5MW 区域维持原 SCADA 系统;
- (6) 实验组一部署 1 万块 HF-SensorNode,覆盖 5.45MW。

## 3.2 评价指标

- (1) 故障诊断—精确率 P、召回率 R、F1;
- (2) 预测—MAPE、RMSE、r;
- (3) 经济一发电增益  $\Delta$  E、运维成本 OPEX、LCOE 降幅。

## 3.3 实验结果

#### 3.3.1 故障诊断

累计发生 312 次真实故障,系统成功检出 304 次,误报 9 次, F1=0. 974。

### 3.3.2 发电量预测

24h 预测 MAPE2. 1%, 较对照组 5. 6%降低 62%; 沙尘 暴过程(2024-04-23)预测曲线与实测曲线相关系数 r=0. 993。

#### 3.3.3 经济效益

实验组 8 个月累计发电 3856MWh, 对照组 3684MWh, 增益 4.7%; 按 0.35 元/kWh 计算,增收 60.2 万元; 清洗+检修成本下降 28%,年节约 25.4 万元;静态投资回收期 2.3 年。

#### 3.4 消融实验

- (1) 移除物理模型。诊断 F1 降至 0.921;
- (2) 移除 L-FED。通信流量增加 11 倍,4G 费用增加 9.7 万元/年;
  - (3) 移除闭环优化。发电增益降至1.8%。

## 4 结论

本文面向"双碳"背景下大规模光伏监管痛点,提

出一套基于大数据的"端-边-云-智"四位一体监管系统 PV-MCS,核心内容为: (1) 0.5s级组件背板同步采样终端,解决"数据精度低"难题; (2)边缘侧 L-FED 轻量化算法,通信量降低 92%,解决"边云带宽受限"难题;(3)物理+数据双驱动引擎,故障诊断准确率 97.4%,24h 发电量预测误差 2.1%; (4)构建 MDP+PSO-GA 闭环优化,实证发电增益 4.7%,运维成本下降 28%。

#### 参考文献

- [1] 蔡源, 吴浩, 唐丹. 光伏发电功率预测方法综述[J]. 四川电力技术, 2024, 47(02): 25-31.
- [2]董存,王铮,白捷予,等. 光伏发电功率超短期预测方法综述[J]. 高电压技术,2023,49(07):2938-2951.
- [3]赵红伟,王赞,李世超,等.光伏发电预测方法综述 [J].电气应用,2025,44(07):75-81.
- [4]马纪梅,张志耀,张启然.基于改进 RBF 神经网络的 光伏组件故障诊断[J]. 电测与仪表,2021,58(02):118

-124.

作者简介: 1. 张忠山(1982.12—), 男, 宁夏银川人, 博士研究生, 副教授/高级工程师, 高级"双师型"教师, 研究方向为太阳能发电技术、产教融合教育、TRI Z 创新方法。

- 2. 傅小龙(1988. 05—),男,江西新余人,硕士,讲师,工程师,中级"双师型"教师, SYB 创业培训讲师,研究方向为压电陶瓷、微波介质陶瓷、半导体光电器件、创新创业教育等。
- 3. 陈梦月(1998.07—),女,汉族,江西都昌人,本科,助教,研究方向新能源科学。

基金项目: 2024 年江西工程学院科学技术研究课题"基于大数据的太阳能光伏电池监管系统设计"(2024-JG KJ-08); 2025 年江西工程学院科学技术研究课题"AI驱动的铋层状无铅压电陶瓷优化研究"(2025-JGKJ-16)。